

M A Y O 2 0 2 6



BOLETÍN CLIMÁTICO

DIRECCIÓN ZONAL 2

El Servicio Nacional de Meteorología e Hidrología del Perú (SENAMHI), a través de su Dirección Zonal 2, presenta información sobre las condiciones meteorológicas registradas durante el último mes en los departamentos de Lambayeque, Amazonas y el norte y centro de Cajamarca. Este boletín tiene como propósito servir como una fuente de consulta y apoyo para la planificación, toma de decisiones, desarrollo de actividades socioeconómicas y gestión del riesgo. www.senamhi.gob.pe/?&p=boletines



1. CONDICIONES HIDROMETEOROLÓGICAS

1.1 RÉGIMEN DE LAS PRECIPITACIONES

En mayo la escasa frecuencia de días con lluvia en el espacio geográfico que comprenden los departamentos de Lambayeque, el centro y norte de Cajamarca y Amazonas favoreció condiciones deficitarias en gran parte de los andes, aunque registrándose entre 1 y 10 días con precipitación el acumulado mensual no superó 50 mm; en contraste, la selva presentó una distribución más variable, con acumulados mayores a 60 mm e incluso mayores a 200 mm en ciertos sectores, permitiendo esta situación que diversas localidades registraran excedentes asociados a la mayor frecuencia de eventos lluviosos, con más de 20 días con precipitaciones en el mes. Por otro lado, en la costa las lluvias fueron escasas concentrándose principalmente en el sector sur, donde se registraron acumulados superiores a 1 mm, generando condiciones de superávit hídrico para una época del año caracterizada por lluvias muy reducidas (Figura 1).

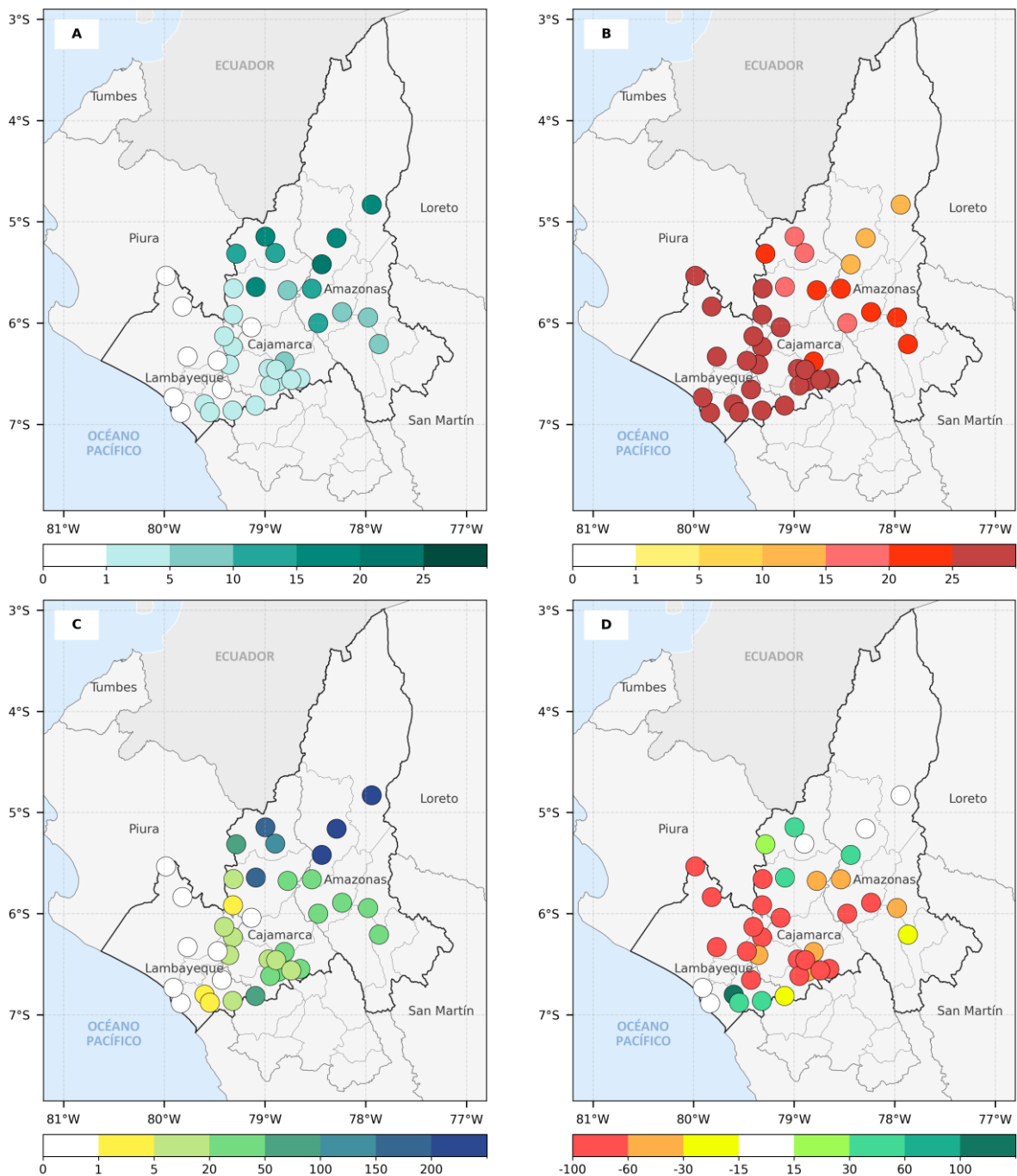


Figura 1. (A) Número de días con lluvia, (B) Total de días secos [<1 mm], (C) Acumulados [mm] y (D) anomalías porcentuales [%] de las precipitaciones registradas en el mes de mayo de 2026. Fuente: Senamhi. Elaboración: DZ2

1.2 TEMPERATURAS EXTREMAS

Las condiciones oceánicas predominantes, asociadas al calentamiento superficial del mar vinculado a la génesis de un evento El Niño, favorecieron el registro de temperaturas del aire mayores a lo habitual en la costa norte del Perú, en tanto que en la vertiente oriental de la sierra norte las cifras oscilaron de normales a ligeramente cálidos, alcanzándose en estas zonas temperaturas máximas mayores a 30 °C en el día y mínimas cercanas a 21 °C en la noche. Por su parte, la Amazonía y sectores orientales andinos mantuvieron condiciones térmicas próximas a sus normales; en la selva baja, los valores máximos superaron los 32 °C en horas de la tarde, mientras que las mínimas fluctuaron entre 20 y 24 °C en las madrugadas. Asimismo, en la región andina la variabilidad térmica estuvo determinada principalmente por la altitud y la ubicación geográfica; como resultado, las temperaturas diurnas oscilaron entre 20 y 32 °C, mientras que durante las primeras horas del día se registraron cifras entre 8 y 16 °C, característicos de esta época del año (Figura 2).

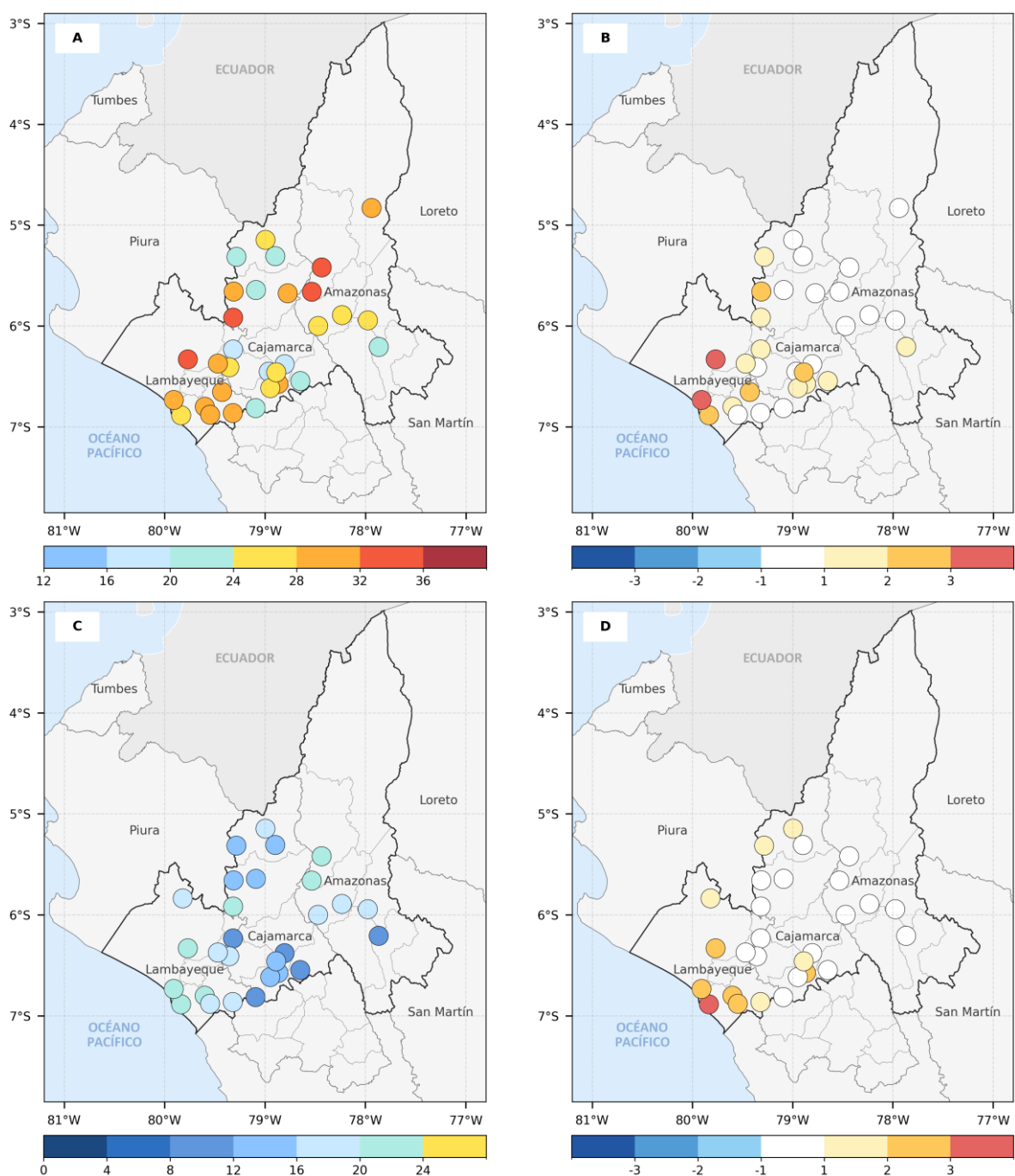


Figura 2. (A) Valores y (B) Anomalías de las temperaturas máximas [°C], (C) Valores y (D) Anomalías de las temperaturas mínimas [°C], registradas en el mes de mayo de 2026. Fuente: Senamhi. Elaboración: DZ2

2. CONDICIONES ATMOSFÉRICAS

2.1 Flujo en niveles altos de la tropósfera

La circulación atmosférica en capas altas estuvo dominada por un sistema anticiclónico ubicado al norte de Brasil, cuya interacción con el flujo subtropical favoreció el predominio de vientos del noroeste y oeste sobre el noroccidente peruano. Entre los 1° y 10°S, las líneas de corriente presentaron una configuración mayormente zonal sobre la costa y los andes del norte peruano, donde confluyeron con vientos provenientes del norte asociados a la circulación anticiclónica; esta configuración generó condiciones de convergencia débil en niveles altos, limitando los movimientos ascendentes y reduciendo el soporte dinámico para el desarrollo de convección profunda. Asimismo, el predominio de los vientos del oeste habría contribuido a restringir el transporte de humedad hacia capas superiores de la atmósfera, restringiendo el crecimiento vertical de la nubosidad convectiva; como resultado, la ocurrencia de precipitaciones en el noroccidente del país dependió principalmente de factores locales y termodinámicos, tales como la disponibilidad de humedad en niveles bajos, el calentamiento diurno y los efectos orográficos asociados al relieve andino (Figura 3).

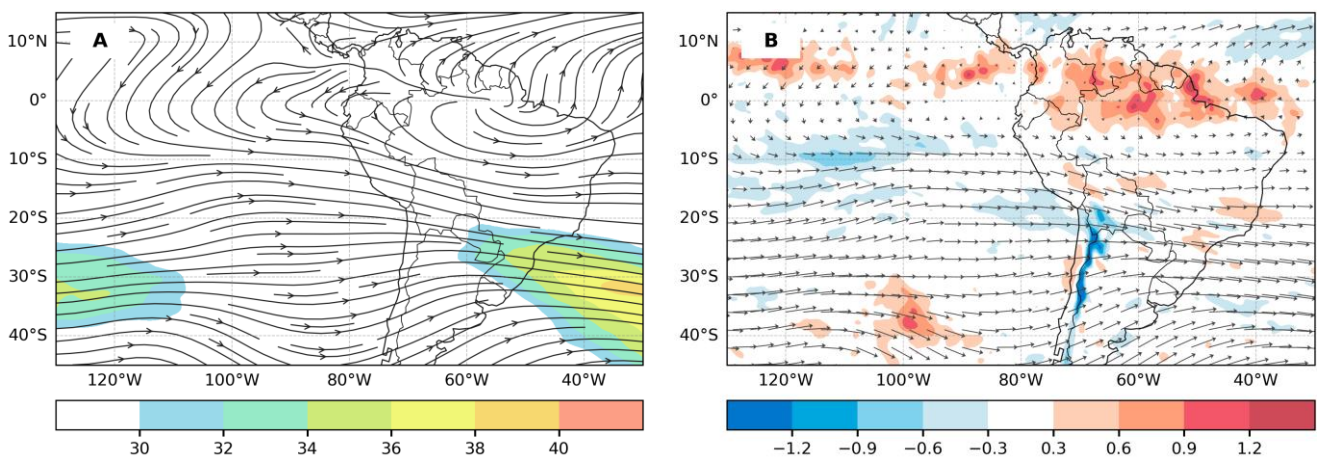


Figura 3. (A) Líneas de corriente y velocidad de viento [$> 30m/s$] y; (B) la distribución de la divergencia [$10^{-5} s^{-1}$] en 250 hPa para el mes de mayo de 2026. Fuente: ECMWF. Elaboración: DZ2

2.2 Niveles medios de la tropósfera

Sobre la franja ecuatorial de Sudamérica, particularmente en su Amazonía occidental y central, la relación de mezcla presentó valores superiores a 4 g/kg; sin embargo, dichos valores disminuyeron gradualmente hacia el noroeste del Perú en concordancia con el debilitamiento de los vientos del este. Como resultado, en Lambayeque, Cajamarca y Amazonas se registraron entre 2 y 3 g/kg, reflejando una menor disponibilidad de humedad atmosférica para el mes de mayo, evidenciándose condiciones de valores cercanos a lo normal a ligeramente deficientes (Figuras 4).

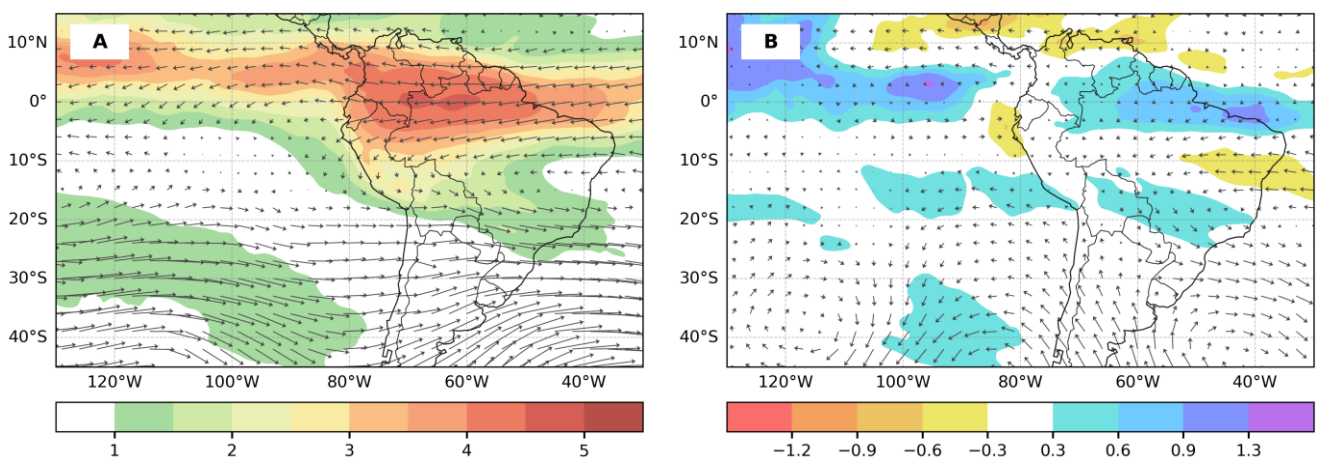


Figura 4. (A) Relación de mezcla [g/kg] y viento a 500 hPa en mayo de 2026; y (B) sus anomalías respecto al periodo 1991–2020.

Fuente: ECMWF. Elaboración: DZ2

Condiciones similares se observaron entre los niveles de 600 y 200 hPa, donde predominó un flujo del oeste desde el océano hacia el territorio peruano, limitando esta configuración el transporte progresivo de humedad procedente de la Amazonía hacia el noroccidente peruano, reduciendo la disponibilidad de humedad en niveles medios y altos de la atmósfera; como consecuencia, se vio afectada la retroalimentación y el desarrollo de nubosidad tanto sobre los andes como la Amazonía de nuestro ámbito zonal. El contenido de humedad relativa se mantuvo por debajo del 50 % y si bien estos valores suelen ser bajos para otoño, en mayo se registraron condiciones más secas de lo habitual, evidenciadas por anomalías negativas; favoreciendo esta menor disponibilidad de humedad atmosférica en la reducción de cobertura nubosa, mayor incidencia de radiación solar en superficie, aumento de temperaturas diurnas y disminución de las precipitaciones. Contribuyendo asimismo este régimen en generar un entorno más favorable para la ocurrencia y propagación de incendios forestales, que suele aumentar durante la transición hacia la estación seca (Figuras 5).

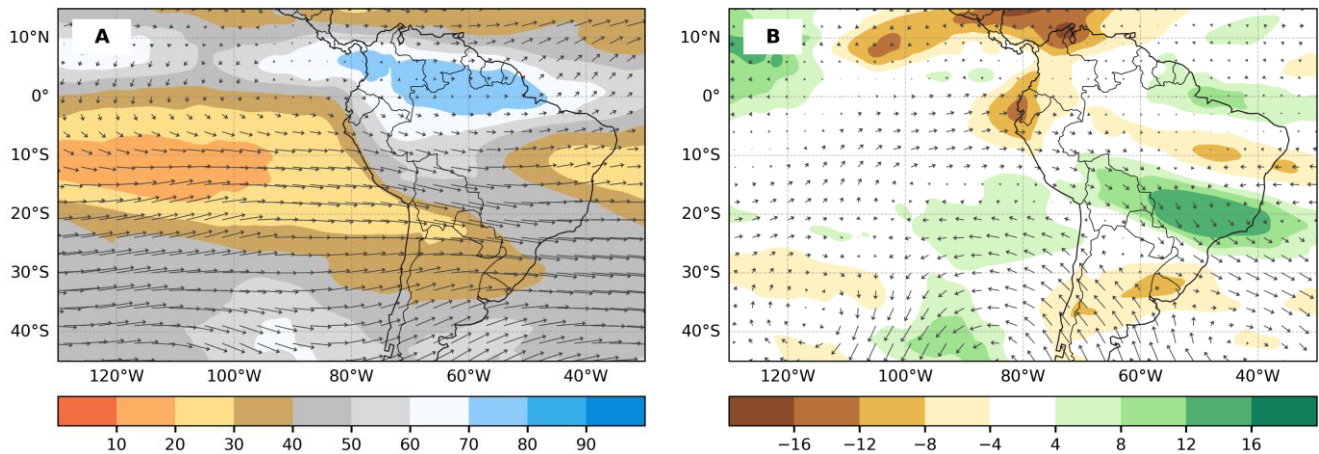


Figura 5. (A) Humedad relativa y viento promediados entre 600 y 200 hPa en el mes de mayo de 2026; y (B) sus anomalías respecto al periodo 1991–2020. Fuente: ECMWF. Elaboración: DZ2

2.3 Comportamiento en niveles bajos de la tropósfera

El Anticiclón Subtropical del Pacífico Sur Oriental (APSO) presentó una configuración debilitada, con influencia restringida principalmente al sur de 20°S y una presencia intermitente, alternando periodos de fortalecimiento y debilitamiento; favoreciendo esta situación en la persistencia de bajas presiones sobre la franja ecuatorial, las cuales se extendieron hasta aproximadamente los 7°S. Aunque este sistema no tuvo una influencia directa sobre las lluvias debido a la estacionalidad del periodo, evidenció el debilitamiento del APSO y la escasa incursión de Anticiclones migratorios desde el extremo sur hemisférico hacia el Pacífico oriental. Predominando además sobre los andes y Amazonía condiciones de presión relativamente más altas, asociadas a una atmósfera más estable (Figuras 6).

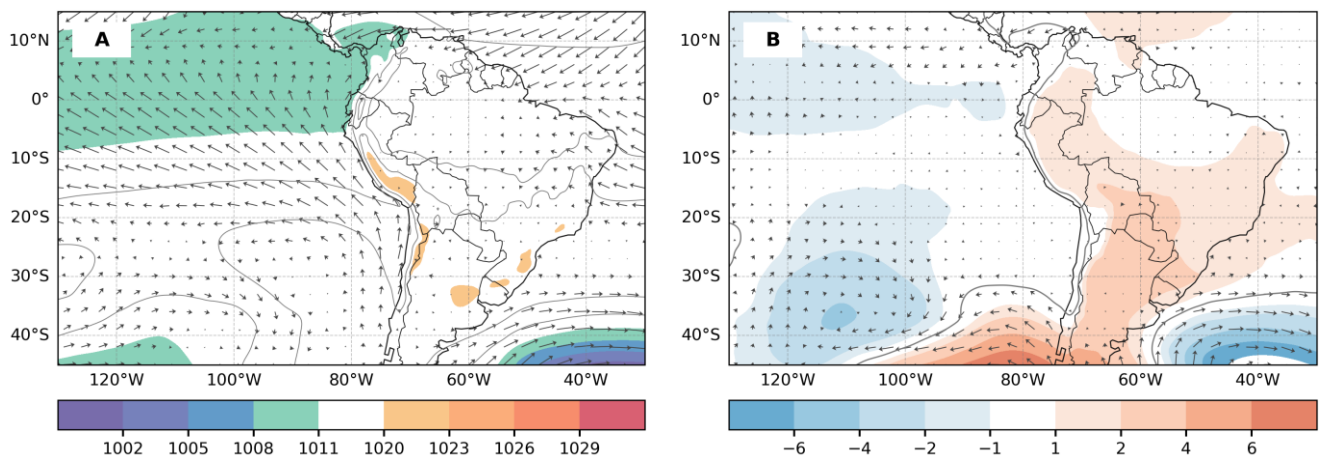


Figura 6. (A) Presión a nivel del mar [hPa] y viento superficial en mayo de 2026; y (B) sus anomalías respecto al periodo 1991–2020. Fuente: ECMWF. Elaboración: DZ2

3. CONDICIONES OCEÁNICAS

3.1 Temperatura superficial del mar

En mayo, las condiciones térmicas del océano Pacífico presentaron cambios respecto al mes anterior, caracterizados por una gradual disminución de la temperatura superficial del mar (TSM) tanto en la región ecuatorial como frente a la costa peruana; continuando a pesar de esta reducción el incremento de las temperaturas, registrándose valores superiores a 27 °C en las regiones Niño 3 y Niño 3.4, mientras que en la región Niño 4 se alcanzaron temperaturas cercanas a 30 °C. Asimismo, frente a la costa centro y norte del Perú, la TSM osciló entre 23 y 26 °C, valores que permanecen por encima de lo esperado para la estación de otoño; estando estas condiciones asociadas a anomalías positivas de la TSM, con valores entre +1,0 y +1,5 °C en la franja ecuatorial, y superiores a +3,0 °C en la región Niño 1+2 como adjuntas a la costa central peruana. Resultando dichas anomalías significativamente altas para la época del año, teniendo una incidencia directa sobre las temperaturas del aire, principalmente en la región costera, incluyendo el departamento de Lambayeque (Figuras 7 A - B).

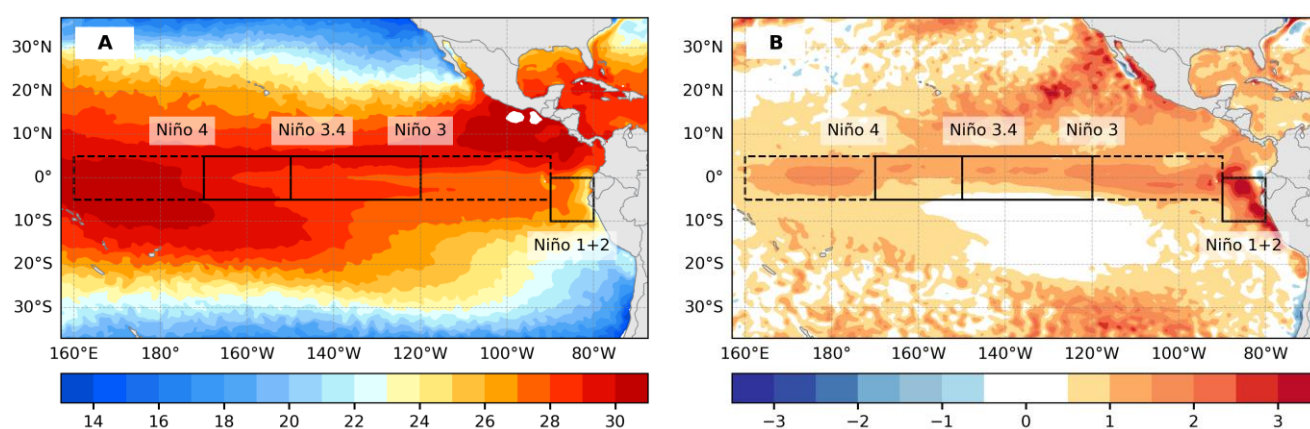


Figura 7. (A) Distribución de las temperaturas superficiales del mar [°C] y sus (B) anomalías en el Pacífico tropical para el mes de mayo de 2026. Fuente: NOAA. Elaboración: DZ2

Las anomalías de la temperatura superficial del mar en las regiones Niño del océano Pacífico ecuatorial evidencian un proceso de calentamiento que se inició de forma gradual en el mes de diciembre de 2025 y se ha mantenido en incremento hasta mayo de 2026. Este último periodo registró las anomalías positivas más altas observadas durante los últimos doce meses, con valores de **+1.81 °C** en la región **Niño 1+2**, **+1.05 °C** en la región **Niño 3**, **+0.82 °C** en la región **Niño 3.4** y **+1.07 °C** en la región **Niño 4** (Figura 8), valores consistentes con el desarrollo de condiciones El Niño en las regiones central y oriental del océano ecuatorial.

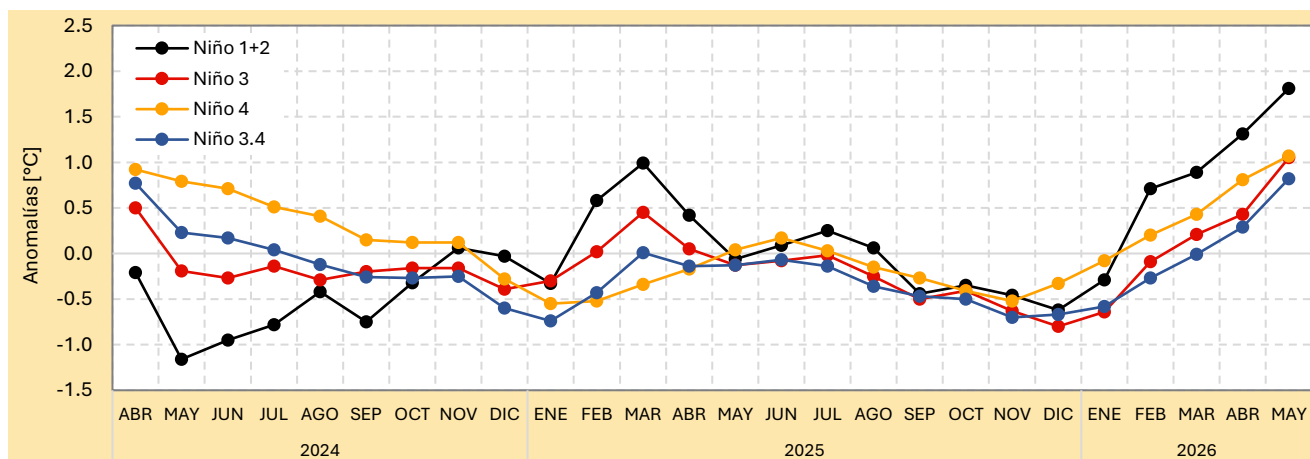


Figura 8. Comportamiento temporal de las anomalías mensuales de la temperatura superficial del mar en las regiones “Niño”. Fuente: ERSSTv5 / NOAA. Elaboración: DZ2

3.2 COMUNICADO OFICIAL ENFEN N°10-2026

La Comisión Multisectorial encargada del Estudio Nacional del Fenómeno El Niño (ENFEN) mantiene el estado de “ALERTA DE EL NIÑO COSTERO”. De acuerdo con el análisis de las condiciones oceánicas y atmosféricas actuales, así como de los pronósticos climáticos para la región Niño 1+2, se prevé que El Niño Costero continúe, al menos, hasta noviembre de 2026, con mayor probabilidad de alcanzar una magnitud moderada. Asimismo, se espera el desarrollo de condiciones El Niño en el Pacífico ecuatorial central (región Niño 3.4) entre junio y noviembre de 2026. Este evento tendría una mayor probabilidad de presentarse con intensidad débil; sin embargo, no se descarta que alcance una magnitud moderada hacia finales de este año, especialmente en noviembre (Figuras 9 A - B).

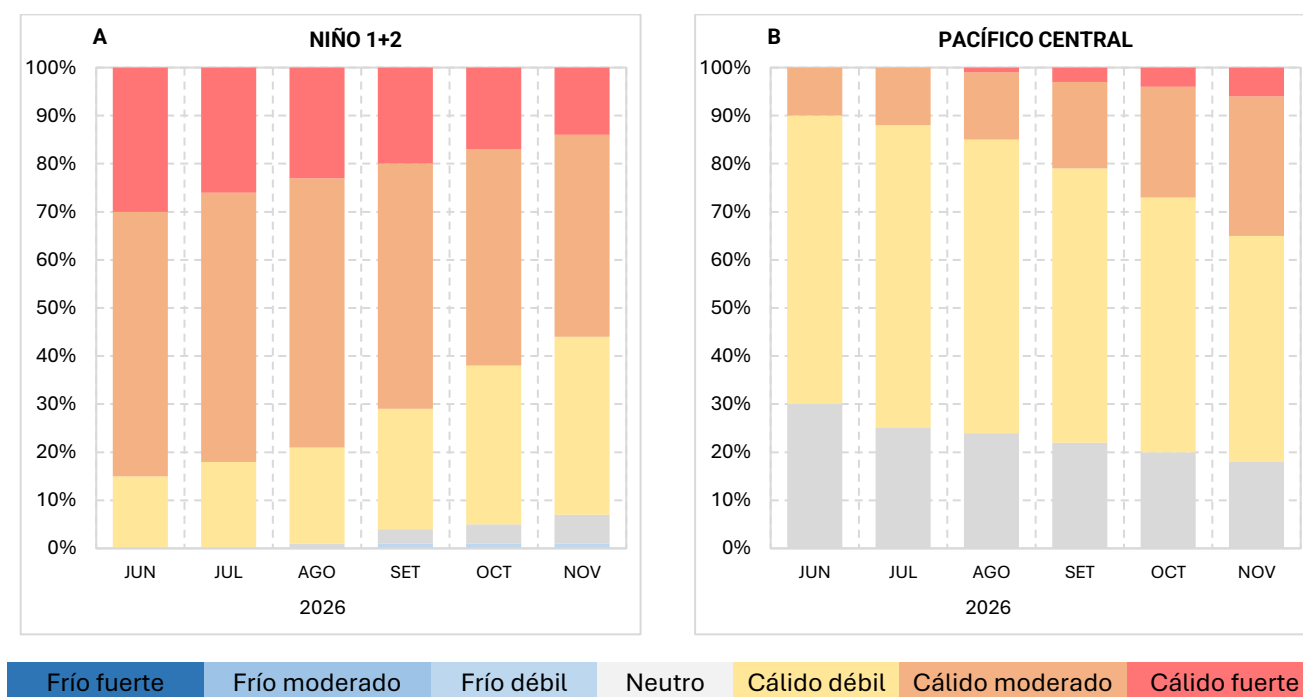


Figura 9. Probabilidades de ocurrencia de El Niño/La Niña frente a (a) la costa norte y centro del Perú [región Niño 1+2] y (b) el océano Pacífico central [región Niño 3.4]. Fuente: ENFEN. Elaboración: DZ2.

Para el trimestre junio–agosto se prevén lluvias dentro de los rangos normales para la costa norte, de acuerdo con su comportamiento estacional. Asimismo, se espera que las temperaturas del aire se mantengan por encima de sus valores climatológicos a lo largo del litoral costero, asociadas a la persistencia del calentamiento de la temperatura superficial del mar. En el ámbito hidrológico, se proyecta el predominio de caudales dentro de lo normal en la Región Hidrográfica del Pacífico.

Respecto a los recursos pesqueros, la intensificación de las condiciones cálidas continuará modificando el hábitat de la anchoveta durante las próximas semanas, favoreciendo su desplazamiento hacia zonas más profundas y hacia el sur. Además, en la costa norte y centro persistiría la presencia inusual de especies de peces asociadas a aguas cálidas.

Ante este escenario, se recomienda a los tomadores de decisiones considerar los avisos meteorológicos y los pronósticos estacionales para la implementación de medidas orientadas a la reducción del riesgo de desastres, así como acciones de prevención y preparación frente a posibles peligros asociados a la continuidad de El Niño Costero y al probable desarrollo de El Niño durante la próxima temporada de lluvias (setiembre de 2026 a abril de 2027). Del mismo modo, se exhorta a la población a mantenerse informada a través de los comunicados oficiales del ENFEN:



Figura 10. Entidades que conforman la Comisión Multisectorial Encargada del Estudio Nacional del Fenómeno “El Niño”



BOLETÍN CLIMÁTICO

Servicio Nacional de Meteorología e Hidrología del Perú – SENAMHI

Dirección Zonal 2 – Lambayeque (Lambayeque, Amazonas y centro-norte de Cajamarca)

PRÓXIMA ACTUALIZACIÓN: JULIO 2026

El boletín climático se encuentra en:

www.senamhi.gob.pe/?p=boletines

Encuesta de satisfacción:

<https://forms.gle/R4M89L4AUSeipNeX8>



PRESIDENTE EJECUTIVO

Edgar Anddy Sánchez de la Cruz
easanchez@senamhi.gob.pe

DIRECTOR ZONAL 2

Hugo Pantoja Tapia
hpantoja@senamhi.gob.pe

ANALISTA METEOROLÓGICO

Joel Alania Sumaran
jalania@senamhi.gob.pe

SENAMHI

Dirección Zonal 2 – Lambayeque

Ubicación:

Manzana E - Lote 19, Calle Los Algarrobos
(esquina con Av. La Colectora).
Urb. Villa del Norte Chiclayo, Lambayeque

Contacto:

Teléfono: 074 - 650 614
Correo: dz2@senamhi.gob.pe